

| | | | | |
|---|---|-------------|--------------------------------------|------------------|
|  | eni s.p.a. exploration & production division | OPS TERA | DEPARTMENT DOCUMENTO # 08/2010 | PAGINA 1 di 1 |
|---|---|-------------|--------------------------------------|------------------|

Campi di Barbara NW e Fauzia

Modello Elasto-Plastico di Subsidenza

Management Summary

LISTA DI DISTRIBUZIONE:

DPMF

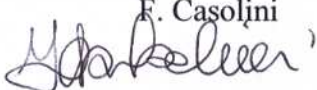
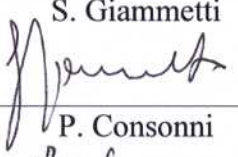
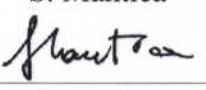
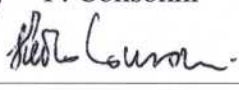
MAGEOD

GEOMAG

AUTORI

| | |
|-----------|------|
| G.Volonté | TEOR |
| A.Corradi | TEOR |
| G.Capasso | TEOR |
| | |

Data: 30 Luglio 2010

| | | | |
|---------------|-----------------------|--|---|
| 0 | Rapporto Finale | F. Casolini  | S. Giammetti  |
| | | S. Mantica  | P. Consonni  |
| AGGIORNAMENTI | CONTROLLATO DA | | APPROVATO DA |



Indice

| | | |
|-------|--|----|
| 1 | Introduzione | 3 |
| 2 | Modello Geomeccanico agli Elementi Finiti | 4 |
| 2.1 | Approccio metodologico..... | 4 |
| 2.2 | Geometria del modello..... | 4 |
| 2.3 | Proprietà dei materiali..... | 6 |
| 2.3.1 | Densità della roccia..... | 6 |
| 2.3.2 | Peso specifico dei fluidi saturanti | 6 |
| 2.3.3 | Comprimibilità uniassiale | 7 |
| 2.4 | Inizializzazione | 11 |
| 2.4.1 | Stato tensionale iniziale | 11 |
| 2.5 | Storia di pressione..... | 11 |
| 3 | Risultati delle analisi eseguite con il modello elasto-plastico..... | 12 |
| 3.1 | Scenario di riferimento..... | 12 |
| 3.2 | Scenario upper..... | 14 |
| 4 | Confronto con i dati della stazione CGPS | 17 |
| | Bibliografia | 19 |

1 Introduzione

Il presente rapporto illustra i risultati dello studio geomeccanico relativo ai campi di Barbara NW e Fauzia, effettuato con lo scopo di valutare quantitativamente la subsidenza indotta dalla coltivazione dei giacimenti. I campi di Barbara NW e Fauzia sono situati nell'offshore adriatico (Figura 1) a circa 55 km a nord di Ancona. La profondità del fondale marino è di circa 70 m.



Figura 1 – Posizione dei campi di BarbaraNW e Fauzia.

La previsione di subsidenza è stata ottenuta da una serie di simulazioni ad Elementi Finiti (FE) eseguite con il codice di calcolo Abaqus [1]. Le informazioni relative alla geometria del giacimento, le proprietà petrofisiche e l'evoluzione delle pressioni sono state ottenute dagli studi fluido-dinamici di giacimento realizzati con il codice di calcolo Eclipse [2].

2 Modello Geomeccanico agli Elementi Finiti

2.1 Approccio metodologico

Lo studio geomeccanico di subsidenza è stato condotto utilizzando il codice FE Abaqus. La costruzione del modello è stata basata sulle seguenti informazioni:

- Mappe geologiche dei livelli interessati dai campi, estese in misura tale da descrivere interamente non solo le zone mineralizzate ma anche gli acquiferi laterali;
- Dettagliata descrizione della geometria e geologia dei "livelli mineralizzati + acquiferi connessi", riprodotta con accuratezza dalla maglia di calcolo numerica;
- Distribuzione di pressione nei "livelli mineralizzati + acquiferi connessi", calcolata con il modello di flusso 3D Eclipse. A fine produzione (2025 per Barbara NW, 2026 per Fauzia), si prevede l'estrazione di circa $1.219 \times 10^9 \text{ Sm}^3$ di gas da Barbara NW e di $0.975 \times 10^9 \text{ Sm}^3$ da Fauzia. Gli studi fluido-dinamici di giacimento sono stati comunque protratti fino al 2050 (a pozzi chiusi) in modo da considerare l'effetto dell'evoluzione della pressione nelle regioni mineralizzate e in acquifero dopo la fine della produzione;
- Proprietà meccaniche della roccia descritte con una legge costitutiva del tipo Cam Clay Modificato, che tiene conto non solo della variazione della comprimibilità uniassiale (c_m) con lo stress efficace, ma modella accuratamente anche gli eventuali fenomeni di espansione dei sedimenti soggetti a ripressurizzazione;
- Calcolo della compattazione dei "livelli mineralizzati + acquiferi connessi" fatto sulla base dello spessore gross degli stessi e della più aggiornata stima della comprimibilità uniassiale ottenuta da misure in situ effettuate nei pozzi equipaggiati con markers nell'offshore adriatico.

E' da sottolineare che non esiste interferenza idraulica tra i due giacimenti in quanto i livelli mineralizzati a gas metano e che saranno messi in produzione nel campo di Fauzia sono diversi da quelli mineralizzati e attualmente in produzione nel campo di Barbara NW. La possibile interferenza meccanica, invece, è adeguatamente considerata, poiché è stato costruito un unico modello geomeccanico, discretizzato tramite una griglia ad elementi finiti che comprende entrambi i giacimenti.

2.2 Geometria del modello

Il modello Eclipse di Barbara NW è composto da 102x102x51 celle nelle direzioni I, J e K rispettivamente, per un totale di oltre mezzo milione di celle, delle quali circa 300000 sono attive. Il modello di Fauzia è composto da 124x77x51 celle, per un totale di circa 475000, di cui circa 350000 attive.

Considerato che il modello FE deve essere ulteriormente esteso, è stato necessario effettuare un processo di *upscaleing* per limitare il numero dei gradi di libertà. La struttura verticale del modello Abaqus per le zone dei giacimenti è stata mantenuta pressoché identica ai modelli dinamici, accorpando tra loro solo livelli inattivi o non in produzione. Un analogo processo di *upscaleing* è

stato attuato anche in direzione orizzontale, unendo tra loro un differente numero di celle a seconda della distanza dal centro del giacimento e delle dimensioni delle celle.

Il modello fluido-dinamico di Barbara NW interessa un'area di circa $17 \times 19 \text{ km}^2$, mentre quello di Fauzia un'area di $18 \times 11 \text{ km}^2$. A partire dalle geometrie dei singoli modelli fluido-dinamici sono state create due griglie FE che, per non risentire dell'influenza delle condizioni al contorno imposte ai bordi, sono state estese (side-burden) fino a ricoprire un'area di circa $30 \times 28 \text{ km}^2$.

Le griglie così ricavate a partire dai singoli modelli fluido-dinamici sono state infine unite tra loro in un unico modello geomeccanico che, pertanto, considera in maniera ottimale le interazioni meccaniche tra i due giacimenti.

Il modello complessivo risulta suddiviso in 110 layer verticali, dal fondo mare fino ad una profondità di 5000 m, per un totale di 245432 elementi, 260427 nodi e 921121 gradi di libertà.

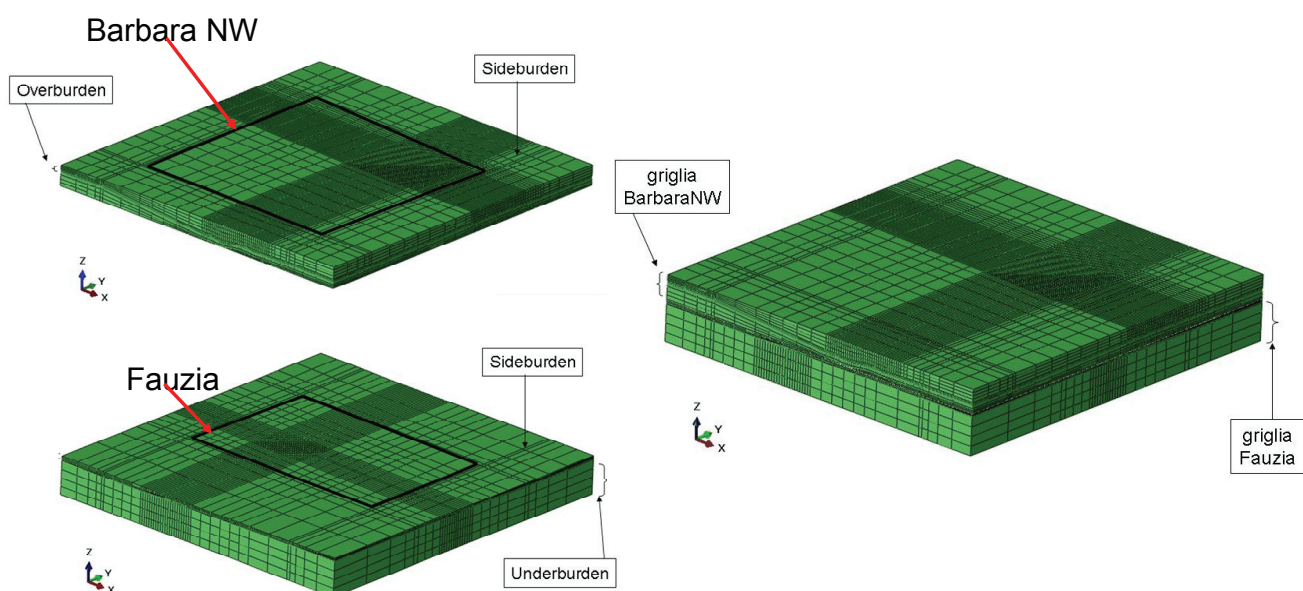


Figura 2 – A sinistra il confronto tra l'estensione del modello geomeccanico e dei modelli dinamici (riquadri neri). A destra la griglia complessiva.

Le condizioni al contorno assegnate al modello sono di spostamento nullo alla base della griglia e spostamento orizzontale impedito sui lati del modello.

2.3 Proprietà dei materiali

2.3.1 Densità della roccia

Partendo dai density log dei pozzi Fauzia 1 e Barbara NW da 2 a 7 è stato possibile calcolare un profilo continuo di densità (Figura 3) definito attraverso la seguente relazione:

$$\rho(z) = 0.181(z - z_{fm}) + 2001.63 \quad \left[\frac{kg}{m^3} \right] \quad (1)$$

ove le profondità (z) sono misurate in metri TVDSS (*True Vertical Depth Sub Sea*) ed è stata considerata una profondità del fondale marino z_{fm} pari a 70 m, al di sopra della quale la densità è stata assunta pari a 1030.0 kg/m³.

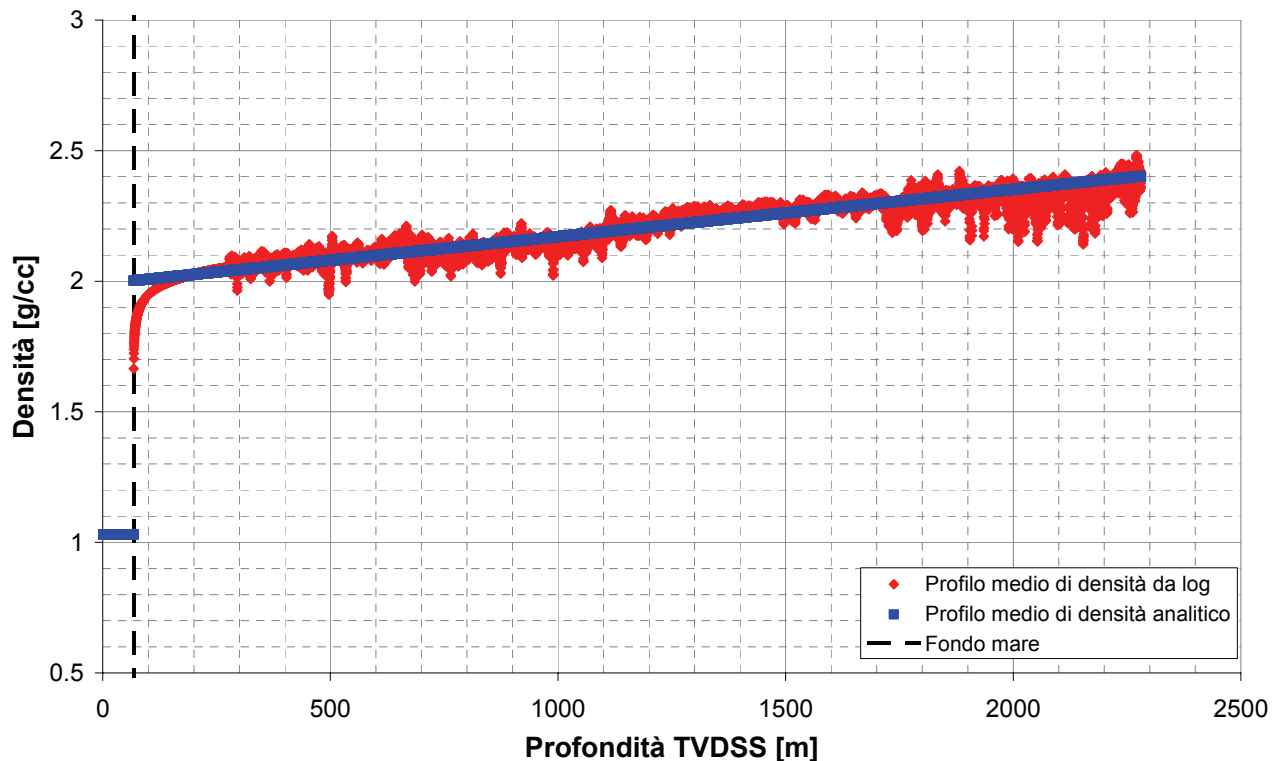


Figura 3 – Profilo di densità da log ed analitico.

La densità della roccia è stata fornita al modello FE in forma tabulare come funzione della profondità secondo la precedente relazione.

2.3.2 Peso specifico dei fluidi saturanti

Viene fornito al modello FE il valore del peso specifico dei fluidi saturanti. Per ogni regione idro-mecanica il valore di γ_f (relativo al gas o all'acqua) è stato considerato costante. Esso è stato

determinato partendo dalla profondità del contatto gas-acqua e dalla distribuzione iniziale delle pressioni calcolata dai modelli Eclipse.

2.3.3 Comprimibilità uniassiale

Il parametro geomeccanico chiave nelle simulazioni di subsidenza è la compressibilità uniassiale c_m del materiale. È oggi comunemente accettato [3] che i valori più attendibili di questo parametro, generalmente funzione non lineare dello stress efficace, siano quelli ottenuti dalle misure in situ tramite markers.

In assenza di dati specifici da marker sui campi di Barbara NW e Fauzia si è utilizzata per la stima della compressibilità una correlazione regionale basata sul più ampio dataset possibile e relativa alle stesse formazioni del Nord Adriatico. Tale correlazione tra c_m e tensione verticale efficace σ'_v è stata proposta da Hueckel *et al.* [4] ed è riportata in Figura 4 ove sono rappresentate:

- relazione media, stima ottimale:

$$c_m = 0.01367 \cdot (\sigma'_v)^{-1.16434} \quad (2)$$

- relazione upper, quantile 97.5%:

$$c_m = 0.01367 \cdot 10^{0.467} \cdot (\sigma'_v)^{-1.16434} \quad (3)$$

dove σ'_v è la tensione efficace verticale espressa in bar e c_m è il coefficiente di compressibilità edometrica espresso in bar⁻¹.

In Figura 4 è inoltre messa a confronto la relazione di Hueckel *et al.* [4] con quella di Baù *et al.* [5]; si può osservare come le due risultino analoghe.

La tensione verticale efficace è stata calcolata tramite:

$$\sigma'_v = \sigma_v - p \quad (4)$$

dove σ_v è la tensione verticale totale e p la pressione dei pori. Quest'ultima è stata estratta dagli studi fluido-dinamici alla profondità di riferimento, mentre la tensione verticale totale σ_v è stata calcolata a partire dalla densità del materiale.

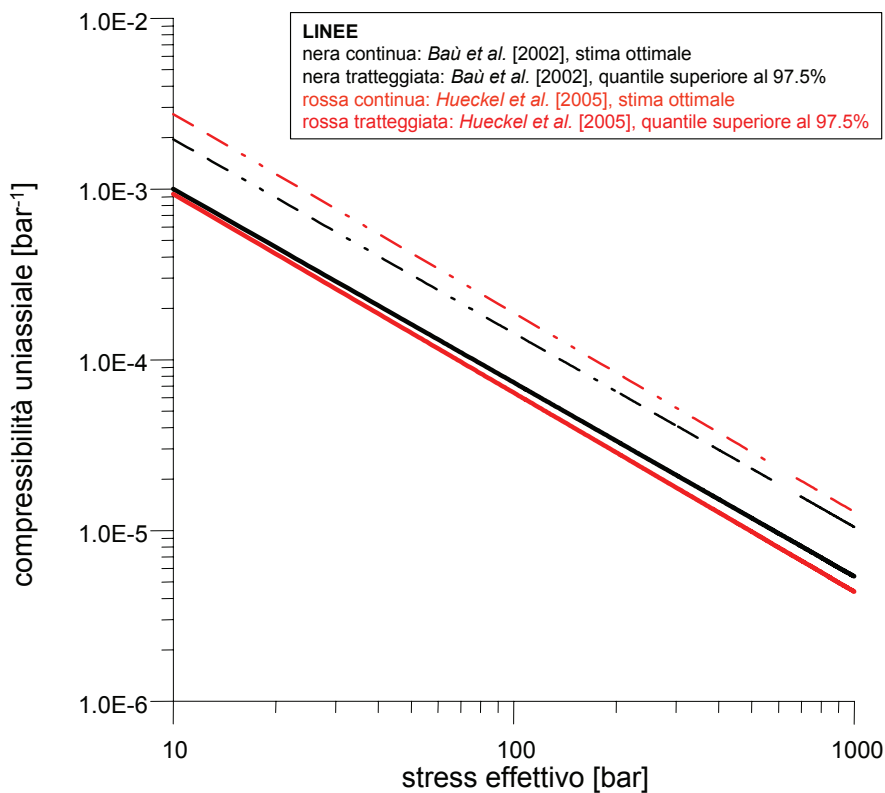


Figura 4 – Correlazione tra la comprimibilità uniassiale c_m e lo stress efficace in situ, derivata da misure su marker nei campi a gas del bacino nord adriatico (da [4]).

I campi di pressione dei modelli Eclipse sono stati stimati utilizzando comprimibilità dei pori coerenti con il modello geomecanico.

Si segnala che studi recenti [6] hanno evidenziato come sia la correlazione di Baù *et al.* [5] sia quella di Hueckel *et al.* [4] tendano a sottostimare la comprimibilità uniassiale dei sedimenti posti a meno di 1500 m di profondità. Per tener conto di ciò, ovvero per profondità inferiori a 1500 m, Ferronato *et al.* [6] hanno proposto che, in via cautelativa, il valore di c_m ottenuto dalle precedenti correlazioni sia moltiplicato per 2. Si ottiene così la legge impiegata nello **scenario di riferimento**:

$$c_m = \begin{cases} 2 \cdot 0.01367 \cdot (\sigma'_v)^{-1.16434} & z < 1500m \\ 0.01367 \cdot (\sigma'_v)^{-1.16434} & z \geq 1500m \end{cases} \quad (5)$$

Allo scopo di effettuare un'analisi parametrica, oltre alla relazione (5), è stata considerata anche la legge di comprimibilità relativa al quantile superiore ed espressa dalla relazione (3): lo scenario di simulazione così realizzato è denominato **scenario upper**.

Soltanamente, viene anche considerato uno scenario con comprimibilità più bassa (scenario lower, quantile 2.5%). In questo caso non è stato possibile realizzare l'history match delle pressioni di campo misurate in Barbara NW con tale scenario di comprimibilità, senza che venissero alterate in maniera non fisica altre caratteristiche petrofisiche del giacimento. Per questo motivo, tale scenario non è presente in questo studio.



In Tabella 1 sono riportati i valori di comprimibilità uniassiale (c_m), coefficiente di Poisson (ν), modulo di Young (E), pendenza della retta di normal-compressione (λ) e di scarico-ricarico (κ) nel piano $e:lnp'$ (dove e è l'indice dei vuoti e p' è la tensione efficace media) assegnati ai vari livelli per lo scenario di riferimento. Per ogni layer sono anche indicati i valori di profondità media, tensione verticale totale, pressione dei pori e tensione verticale efficace.

Tabella 1 – Proprietà assegnate, regione per regione, per lo scenario di riferimento.

| Layer | z media | σ_v | p | σ'_v | c_m | ν | E | λ | κ |
|---------------|-----------|------------|--------|-------------|----------------|-------|----------|-----------|----------|
| | [m] | [bar] | [bar] | [bar] | [bar $^{-1}$] | - | [bar] | - | - |
| Overburden 1 | 251.8 | 43.2 | 25.4 | 17.8 | 9.56E-04 | 0.26 | 8.55E+02 | - | - |
| Overburden 2 | 435.6 | 80.2 | 44 | 36.2 | 4.18E-04 | 0.26 | 1.95E+03 | - | - |
| Overburden 3 | 619.4 | 117.8 | 62.6 | 55.2 | 2.56E-04 | 0.26 | 3.19E+03 | - | - |
| Overburden 4 | 803.2 | 155.9 | 81.1 | 74.8 | 1.80E-04 | 0.26 | 4.55E+03 | - | - |
| Barbara NW 1 | 987 | 194.8 | 100 | 94.8 | 1.37E-04 | 0.26 | 5.97E+03 | 2.02E-02 | 6.67E-03 |
| Barbara NW 2 | 1048 | 207.8 | 106 | 101.8 | 1.26E-04 | 0.26 | 6.49E+03 | - | |
| Barbara NW 3 | 1048 | 207.8 | 106 | 101.8 | 1.26E-04 | 0.26 | 6.49E+03 | 2.00E-02 | 6.59E-03 |
| Barbara NW 4 | 1048 | 207.8 | 106 | 101.8 | 1.26E-04 | 0.26 | 6.49E+03 | 2.00E-02 | 6.59E-03 |
| Barbara NW 5 | 1105 | 220 | 112 | 108 | 1.17E-04 | 0.26 | 6.99E+03 | - | - |
| Barbara NW 6 | 1105 | 220 | 112 | 108 | 1.17E-04 | 0.26 | 6.99E+03 | 1.76E-02 | 5.80E-03 |
| Barbara NW 7 | 1105 | 220 | 112 | 108 | 1.17E-04 | 0.26 | 6.99E+03 | 1.76E-02 | 5.80E-03 |
| Barbara NW 8 | 1141 | 227.7 | 115 | 112.7 | 1.12E-04 | 0.26 | 7.30E+03 | - | - |
| Barbara NW 9 | 1141 | 227.7 | 115 | 112.7 | 1.12E-04 | 0.26 | 7.30E+03 | 1.75E-02 | 5.77E-03 |
| Barbara NW 10 | 1150 | 229.7 | 116 | 113.7 | 1.11E-04 | 0.26 | 7.36E+03 | - | - |
| Barbara NW 11 | 1150 | 229.7 | 116 | 113.7 | 1.11E-04 | 0.26 | 7.36E+03 | 1.74E-02 | 5.76E-03 |
| Barbara NW 12 | 1150 | 229.7 | 116 | 113.7 | 1.11E-04 | 0.26 | 7.36E+03 | 1.74E-02 | 5.76E-03 |
| Barbara NW 13 | 1150 | 229.7 | 116 | 113.7 | 1.11E-04 | 0.26 | 7.36E+03 | 1.74E-02 | 5.76E-03 |
| Barbara NW 14 | 1161 | 232 | 117 | 115 | 1.09E-04 | 0.26 | 7.50E+03 | - | - |
| Barbara NW 15 | 1161 | 232 | 117 | 115 | 1.09E-04 | 0.26 | 7.50E+03 | 1.74E-02 | 5.75E-03 |
| Barbara NW 16 | 1165 | 232.9 | 117.4 | 115.5 | 1.08E-04 | 0.26 | 7.57E+03 | - | - |
| Barbara NW 17 | 1165 | 232.9 | 117.4 | 115.5 | 1.08E-04 | 0.26 | 7.57E+03 | 1.76E-02 | 5.82E-03 |
| Barbara NW 18 | 1184 | 237 | 120 | 117 | 1.07E-04 | 0.26 | 7.64E+03 | - | - |
| Barbara NW 19 | 1184 | 237 | 120 | 117 | 1.07E-04 | 0.26 | 7.64E+03 | 1.74E-02 | 5.73E-03 |
| Barbara NW 20 | 1190 | 238.3 | 120.4 | 117.9 | 1.06E-04 | 0.26 | 7.71E+03 | - | - |
| Barbara NW 21 | 1190 | 238.3 | 120.4 | 117.9 | 1.06E-04 | 0.26 | 7.71E+03 | 1.71E-02 | 5.64E-03 |
| Barbara NW 22 | 1200.5 | 240.6 | 120.66 | 119.9 | 1.04E-04 | 0.26 | 7.86E+03 | - | - |
| Barbara NW 23 | 1200.5 | 240.6 | 120.66 | 119.9 | 1.04E-04 | 0.26 | 7.86E+03 | 1.71E-02 | 5.63E-03 |
| Barbara NW 24 | 1205 | 241.5 | 121.5 | 120 | 1.04E-04 | 0.26 | 7.86E+03 | - | - |
| Barbara NW 25 | 1205 | 241.5 | 121.5 | 120 | 1.04E-04 | 0.26 | 7.86E+03 | 1.75E-02 | 5.78E-03 |
| Barbara NW 26 | 1209 | 242.4 | 122.38 | 120 | 1.04E-04 | 0.26 | 7.86E+03 | - | - |
| Barbara NW 27 | 1209 | 242.4 | 122.38 | 120 | 1.04E-04 | 0.26 | 7.86E+03 | 1.73E-02 | 5.71E-03 |
| Barbara NW 28 | 1217.5 | 244.2 | 123 | 121.2 | 1.02E-04 | 0.26 | 8.01E+03 | - | - |
| Barbara NW 29 | 1217.5 | 244.2 | 123 | 121.2 | 1.02E-04 | 0.26 | 8.01E+03 | 1.70E-02 | 5.62E-03 |
| Barbara NW 30 | 1223 | 245.4 | 124 | 121.4 | 1.02E-04 | 0.26 | 8.01E+03 | - | - |
| Barbara NW 31 | 1223 | 245.4 | 124 | 121.4 | 1.02E-04 | 0.26 | 8.01E+03 | 1.70E-02 | 5.62E-03 |
| Barbara NW 32 | 1223 | 245.4 | 124 | 121.4 | 1.02E-04 | 0.26 | 8.01E+03 | 1.70E-02 | 5.62E-03 |
| Barbara NW 33 | 1246 | 250.4 | 125.9 | 124.5 | 9.94E-05 | 0.26 | 8.22E+03 | - | - |
| Barbara NW 34 | 1246 | 250.4 | 125.9 | 124.5 | 9.94E-05 | 0.26 | 8.22E+03 | 1.72E-02 | 5.67E-03 |
| Barbara NW 35 | 1246 | 250.4 | 125.9 | 124.5 | 9.94E-05 | 0.26 | 8.22E+03 | 1.72E-02 | 5.67E-03 |
| Barbara NW 36 | 1249.5 | 251.2 | 126.6 | 124.6 | 9.93E-05 | 0.26 | 8.23E+03 | - | - |
| Barbara NW 37 | 1249.5 | 251.2 | 126.6 | 124.6 | 9.93E-05 | 0.26 | 8.23E+03 | 1.67E-02 | 5.52E-03 |



| | | | | | | | | | |
|---------------------|--------|-------|--------|-------|----------|------|----------|----------|----------|
| Barbara NW 38 | 1254.5 | 252.3 | 126.8 | 125.5 | 9.85E-05 | 0.26 | 8.30E+03 | - | - |
| Barbara NW 39 | 1254.5 | 252.3 | 126.8 | 125.5 | 9.85E-05 | 0.26 | 8.30E+03 | 1.69E-02 | 5.59E-03 |
| Barbara NW 40 | 1254.5 | 252.3 | 126.8 | 125.5 | 9.85E-05 | 0.26 | 8.30E+03 | 1.69E-02 | 5.59E-03 |
| Barbara NW 41 | 1264 | 254.3 | 130 | 124.3 | 9.95E-05 | 0.26 | 8.21E+03 | - | - |
| Barbara NW 42 | 1264 | 254.3 | 130 | 124.3 | 9.95E-05 | 0.26 | 8.21E+03 | 1.72E-02 | 5.67E-03 |
| Barbara NW 43 | 1431 | 290.9 | 158 | 132.9 | 9.21E-05 | 0.26 | 8.87E+03 | - | - |
| Barbara NW 44 | 1431 | 290.9 | 158 | 132.9 | 9.21E-05 | 0.26 | 8.87E+03 | 1.68E-02 | 5.53E-03 |
| Barbara NW 45 | 1431 | 290.9 | 158 | 132.9 | 9.21E-05 | 0.26 | 8.87E+03 | 1.68E-02 | 5.53E-03 |
| Barbara NW 46 | 1431 | 290.9 | 158 | 132.9 | 9.21E-05 | 0.26 | 8.87E+03 | 1.68E-02 | 5.53E-03 |
| Barbara NW 47 | 1473 | 300.2 | 163 | 137.2 | 8.88E-05 | 0.26 | 9.20E+03 | - | - |
| Barbara NW 48 | 1473 | 300.2 | 163 | 137.2 | 8.88E-05 | 0.26 | 9.20E+03 | 1.67E-02 | 5.50E-03 |
| Barbara NW 49 | 1473 | 300.2 | 163 | 137.2 | 8.88E-05 | 0.26 | 9.20E+03 | 1.67E-02 | 5.50E-03 |
| Underburden BNW 1 | 1567.2 | 321.1 | 158.3 | 162.8 | 3.64E-05 | 0.26 | 2.25E+04 | - | - |
| Underburden BNW 2 | 1661.5 | 342.2 | 167.8 | 174.4 | 3.36E-05 | 0.26 | 2.43E+04 | - | - |
| Underburden BNW 3 | 1850 | 384.8 | 186.9 | 198 | 2.90E-05 | 0.26 | 2.82E+04 | - | - |
| Overburden Fauzia 1 | 1850 | 384.8 | 186.9 | 198 | 2.90E-05 | 0.26 | 2.82E+04 | - | - |
| Overburden Fauzia 2 | 1960.4 | 410.1 | 198 | 212.1 | 2.67E-05 | 0.26 | 3.06E+04 | - | - |
| Fauzia 1 | 2015.6 | 422.9 | 240.4 | 182.5 | 3.18E-05 | 0.26 | 2.57E+04 | 7.85E-03 | 2.59E-03 |
| Fauzia 2 | 2015.6 | 422.9 | 240.4 | 182.5 | 3.18E-05 | 0.26 | 2.57E+04 | 7.85E-03 | 2.59E-03 |
| Fauzia 3 | 2051.7 | 431.2 | 243.11 | 188.1 | 3.07E-05 | 0.26 | 2.66E+04 | - | - |
| Fauzia 4 | 2051.7 | 431.2 | 243.11 | 188.1 | 3.07E-05 | 0.26 | 2.66E+04 | 7.61E-03 | 2.51E-03 |
| Fauzia 5 | 2051.7 | 431.2 | 243.11 | 188.1 | 3.07E-05 | 0.26 | 2.66E+04 | 7.61E-03 | 2.51E-03 |
| Fauzia 6 | 2054.6 | 431.9 | 243.4 | 188.5 | 3.07E-05 | 0.26 | 2.66E+04 | - | - |
| Fauzia 7 | 2054.6 | 431.9 | 243.4 | 188.5 | 3.07E-05 | 0.26 | 2.66E+04 | 7.60E-03 | 2.51E-03 |
| Fauzia 8 | 2054.6 | 431.9 | 243.4 | 188.5 | 3.07E-05 | 0.26 | 2.66E+04 | 7.60E-03 | 2.51E-03 |
| Fauzia 9 | 2076.2 | 436.9 | 246.16 | 190.7 | 3.02E-05 | 0.26 | 2.71E+04 | - | - |
| Fauzia 10 | 2076.2 | 436.9 | 246.16 | 190.7 | 3.02E-05 | 0.26 | 2.71E+04 | 7.49E-03 | 2.47E-03 |
| Fauzia 11 | 2076.2 | 436.9 | 246.16 | 190.7 | 3.02E-05 | 0.26 | 2.71E+04 | 7.49E-03 | 2.47E-03 |
| Fauzia 12 | 2106.9 | 444 | 248.95 | 195.1 | 2.95E-05 | 0.26 | 2.77E+04 | - | - |
| Fauzia 13 | 2106.9 | 444 | 248.95 | 195.1 | 2.95E-05 | 0.26 | 2.77E+04 | 7.66E-03 | 2.53E-03 |
| Fauzia 14 | 2106.9 | 444 | 248.95 | 195.1 | 2.95E-05 | 0.26 | 2.77E+04 | 7.66E-03 | 2.53E-03 |
| Fauzia 15 | 2125.3 | 448.3 | 250.3 | 198 | 2.90E-05 | 0.26 | 2.82E+04 | - | - |
| Fauzia 16 | 2125.3 | 448.3 | 250.3 | 198 | 2.90E-05 | 0.26 | 2.82E+04 | 7.54E-03 | 2.49E-03 |
| Fauzia 17 | 2125.3 | 448.3 | 250.3 | 198 | 2.90E-05 | 0.26 | 2.82E+04 | 7.54E-03 | 2.49E-03 |
| Fauzia 18 | 2148.9 | 453.8 | 251.9 | 201.9 | 2.83E-05 | 0.26 | 2.89E+04 | - | - |
| Fauzia 19 | 2148.9 | 453.8 | 251.9 | 201.9 | 2.83E-05 | 0.26 | 2.89E+04 | 7.42E-03 | 2.45E-03 |
| Fauzia 20 | 2148.9 | 453.8 | 251.9 | 201.9 | 2.83E-05 | 0.26 | 2.89E+04 | 7.42E-03 | 2.45E-03 |
| Fauzia 21 | 2152.4 | 454.6 | 252.3 | 202.3 | 2.82E-05 | 0.26 | 2.90E+04 | - | - |
| Fauzia 22 | 2152.4 | 454.6 | 252.3 | 202.3 | 2.82E-05 | 0.26 | 2.90E+04 | 7.52E-03 | 2.48E-03 |
| Fauzia 23 | 2152.4 | 454.6 | 252.3 | 202.3 | 2.82E-05 | 0.26 | 2.90E+04 | 7.52E-03 | 2.48E-03 |
| Fauzia 24 | 2152.4 | 454.6 | 252.3 | 202.3 | 2.82E-05 | 0.26 | 2.90E+04 | 7.52E-03 | 2.48E-03 |
| Fauzia 25 | 2152.4 | 454.6 | 252.3 | 202.3 | 2.82E-05 | 0.26 | 2.90E+04 | 7.52E-03 | 2.48E-03 |
| Fauzia 26 | 2152.4 | 454.6 | 252.3 | 202.3 | 2.82E-05 | 0.26 | 2.90E+04 | 7.52E-03 | 2.48E-03 |
| Fauzia 27 | 2158.4 | 456 | 253.4 | 202.6 | 2.82E-05 | 0.26 | 2.90E+04 | - | - |
| Fauzia 28 | 2158.4 | 456 | 253.4 | 202.6 | 2.82E-05 | 0.26 | 2.90E+04 | 7.93E-03 | 2.62E-03 |
| Fauzia 29 | 2158.4 | 456 | 253.4 | 202.6 | 2.82E-05 | 0.26 | 2.90E+04 | 7.93E-03 | 2.62E-03 |
| Fauzia 30 | 2158.4 | 456 | 253.4 | 202.6 | 2.82E-05 | 0.26 | 2.90E+04 | 7.93E-03 | 2.62E-03 |
| Fauzia 31 | 2170.4 | 458.8 | 254 | 204.8 | 2.78E-05 | 0.26 | 2.94E+04 | - | - |
| Fauzia 32 | 2170.4 | 458.8 | 254 | 204.8 | 2.78E-05 | 0.26 | 2.94E+04 | 7.22E-03 | 2.38E-03 |
| Fauzia 33 | 2170.4 | 458.8 | 254 | 204.8 | 2.78E-05 | 0.26 | 2.94E+04 | 7.22E-03 | 2.38E-03 |
| Fauzia 34 | 2173 | 459.4 | 254.28 | 205.1 | 2.78E-05 | 0.26 | 2.94E+04 | - | - |

| | | | | | | | | | |
|---------------|---------|--------|--------|-------|----------|------|----------|----------|----------|
| Fauzia 35 | 2173 | 459.4 | 254.28 | 205.1 | 2.78E-05 | 0.26 | 2.94E+04 | 7.31E-03 | 2.41E-03 |
| Fauzia 36 | 2173 | 459.4 | 254.28 | 205.1 | 2.78E-05 | 0.26 | 2.94E+04 | 7.31E-03 | 2.41E-03 |
| Fauzia 37 | 2175.4 | 460 | 254.5 | 205.5 | 2.77E-05 | 0.26 | 2.95E+04 | - | - |
| Fauzia 38 | 2175.4 | 460 | 254.5 | 205.5 | 2.77E-05 | 0.26 | 2.95E+04 | 7.60E-03 | 2.51E-03 |
| Fauzia 39 | 2175.4 | 460 | 254.5 | 205.5 | 2.77E-05 | 0.26 | 2.95E+04 | 7.60E-03 | 2.51E-03 |
| Fauzia 40 | 2180.3 | 461.1 | 254.78 | 206.3 | 2.76E-05 | 0.26 | 2.96E+04 | - | - |
| Fauzia 41 | 2180.3 | 461.1 | 254.78 | 206.3 | 2.76E-05 | 0.26 | 2.96E+04 | 7.69E-03 | 2.54E-03 |
| Fauzia 42 | 2180.3 | 461.1 | 254.78 | 206.3 | 2.76E-05 | 0.26 | 2.96E+04 | 7.69E-03 | 2.54E-03 |
| Fauzia 43 | 2180.3 | 461.1 | 254.78 | 206.3 | 2.76E-05 | 0.26 | 2.96E+04 | 7.69E-03 | 2.54E-03 |
| Fauzia 44 | 2180.3 | 461.1 | 254.78 | 206.3 | 2.76E-05 | 0.26 | 2.96E+04 | 7.69E-03 | 2.54E-03 |
| Fauzia 45 | 2184.3 | 462.1 | 255.06 | 207 | 2.75E-05 | 0.26 | 2.97E+04 | - | - |
| Fauzia 46 | 2184.3 | 462.1 | 255.06 | 207 | 2.75E-05 | 0.26 | 2.97E+04 | 7.69E-03 | 2.54E-03 |
| Fauzia 47 | 2184.3 | 462.1 | 255.06 | 207 | 2.75E-05 | 0.26 | 2.97E+04 | 7.69E-03 | 2.54E-03 |
| Fauzia 48 | 2190.9 | 463.6 | 255.77 | 207.8 | 2.74E-05 | 0.26 | 2.98E+04 | - | - |
| Underburden 1 | 2752.72 | 597.8 | 278.1 | 319.8 | 1.66E-05 | 0.26 | 4.93E+04 | - | - |
| Underburden 2 | 3314.54 | 737.7 | 334.8 | 402.9 | 1.27E-05 | 0.26 | 6.46E+04 | - | - |
| Underburden 3 | 3876.36 | 883.2 | 391.6 | 491.6 | 1.00E-05 | 0.26 | 8.14E+04 | - | - |
| Underburden 4 | 4438.18 | 1034.2 | 448.3 | 585.9 | 8.19E-06 | 0.26 | 9.98E+04 | - | - |

2.4 Inizializzazione

2.4.1 Stato tensionale iniziale

Per i campi di Barbara NW e Fauzia lo sforzo totale verticale è stato calcolato dal gradiente di overburden definito a partire dai log density eseguiti sui pozzi Fauzia 1 e Barbara NW da 2 a 7 (come descritto nel paragrafo 2.3.1). Lo sforzo orizzontale σ'_h è stato inizializzato partendo da condizioni di tipo edometrico definite come:

$$\sigma'_h = K_0 \cdot \sigma'_v \quad (6)$$

dove K_0 rappresenta il coefficiente di spinta a riposo che è stato posto pari a 0.54 [7].

2.5 Storia di pressione

La distribuzione tridimensionale di pressione e la sua evoluzione temporale, così come calcolata dai modelli di flusso Eclipse, è stata importata nel modello ad elementi finiti. Le pressioni sono state importate considerando 18 step temporali.

3 Risultati delle analisi eseguite con il modello elasto-plastico

3.1 Scenario di riferimento

I risultati delle previsioni di subsidenza per lo scenario di riferimento, ritenuto il più probabile, sono riportati in Tabella 2 per diversi step temporali durante e dopo la vita produttiva del campo. Lo studio è stato, infatti, protratto fino al 2050 (a pozzi chiusi) in modo da considerare l'effetto dell'evoluzione della pressione nelle regioni mineralizzate e in acquifero dopo la fine della produzione.

Tabella 2 – Risultati finali: massima subsidenza ed estensione del fenomeno per lo scenario di riferimento.

| 1-gen-2010 | | 1-gen-2022 | | 1-gen-2026 | | 1-gen-2040 | | 1-gen-2050 | |
|--------------|---------------------|--------------|---------------------|--------------|---------------------|--------------|---------------------|--------------|---------------------|
| Max sub (cm) | Max estensione (km) |
| 27 | 5 | 31 | 12 | 30 | 13 | 29 | 14 | 29 | 14 |

L'analisi dei risultati consente di osservare che, per lo scenario di riferimento:

- il valore massimo di subsidenza è previsto in corrispondenza del campo di Barbara NW e risulta pari a 31 cm. Tale valore è raggiunto nel 2022, si riduce a 29 cm dopo circa 20 anni e rimane stabile fino alla fine della simulazione. La subsidenza massima prevista in corrispondenza del campo di Fauzia è pari a 10 cm ed è raggiunta alla fine della simulazione (Figura 5);
- nel 2026 (fine della produzione) la massima estensione della linea di iso-subsidenza dei 2 cm, calcolata come distanza del punto di massima subsidenza dalla linea dei 2 cm, è pari a 13 km, raggiunge i 14 km nel 2040 e rimane successivamente invariata (Figura 6 e Figura 7) a dimostrazione dell'assestamento del fenomeno;
- il fenomeno si esaurisce a circa 42 km dalla linea di costa.

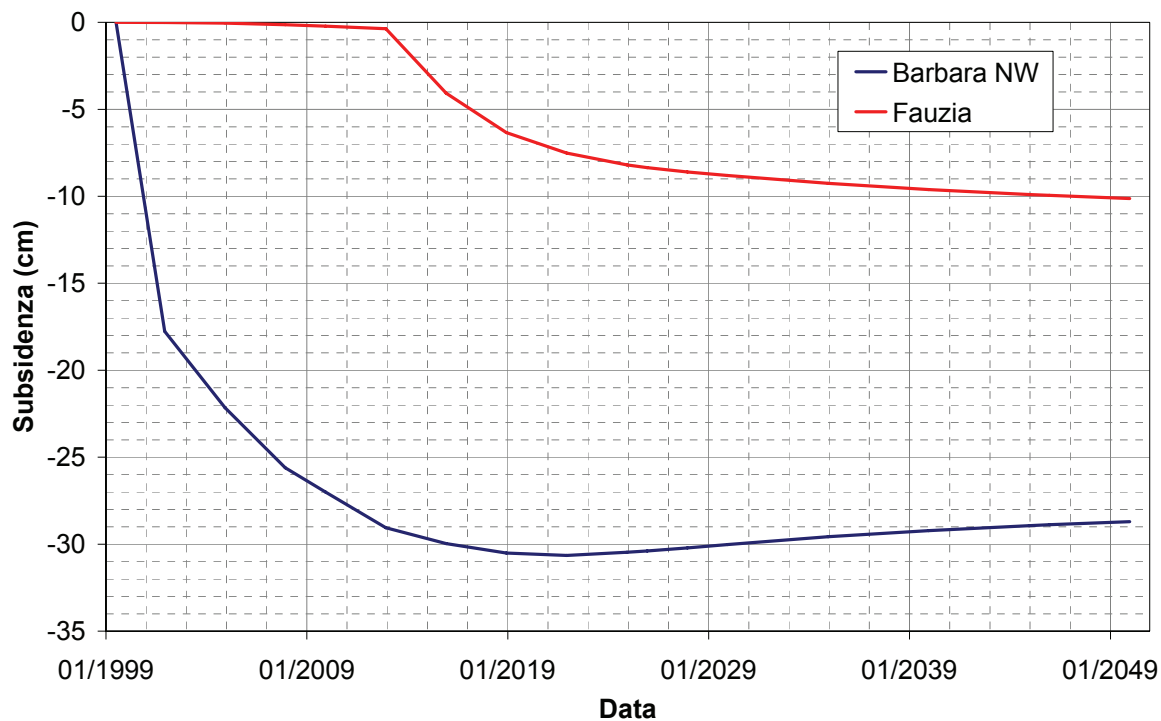


Figura 5 – Scenario di riferimento: evoluzione nel tempo del valore di subsidenza nel punto di massimo, in corrispondenza del campo di Barbara NW (linea blu, punto di coordinate 2412321 m E, 4884565 m N) e del campo di Fauzia (linea rossa, punto di coordinate 2404061 m E, 4879477 m N).

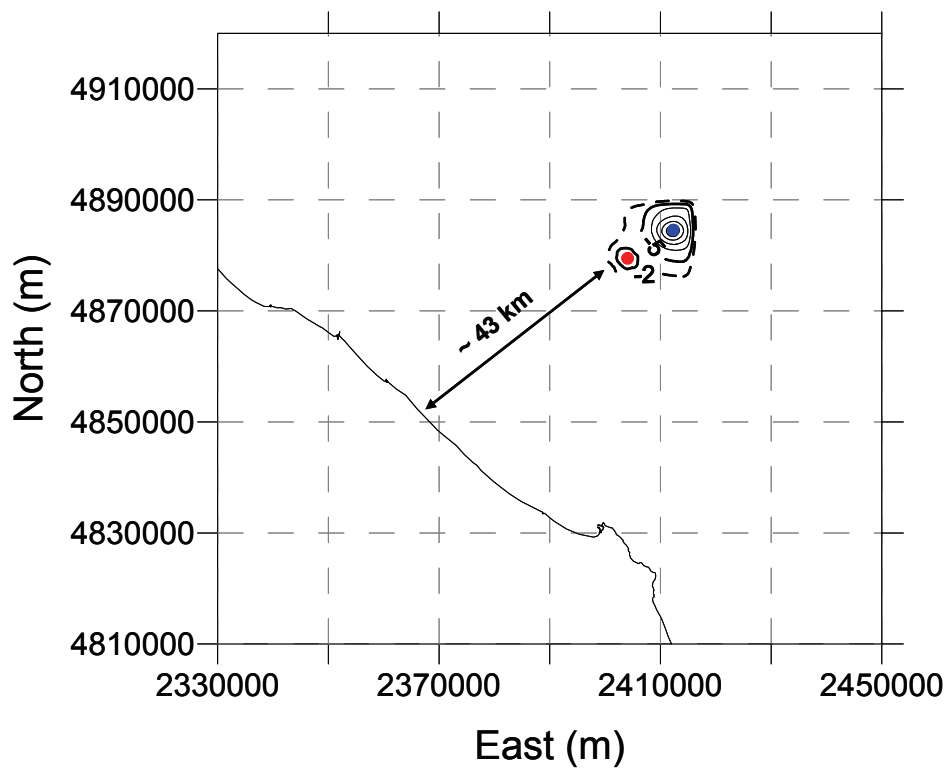


Figura 6 – Curve di iso-subsidenza per lo scenario di riferimento a fine produzione (2026). Sono anche indicati i punti di massimo in corrispondenza del campo di Barbara NW (in blu) e di Fauzia (in rosso).

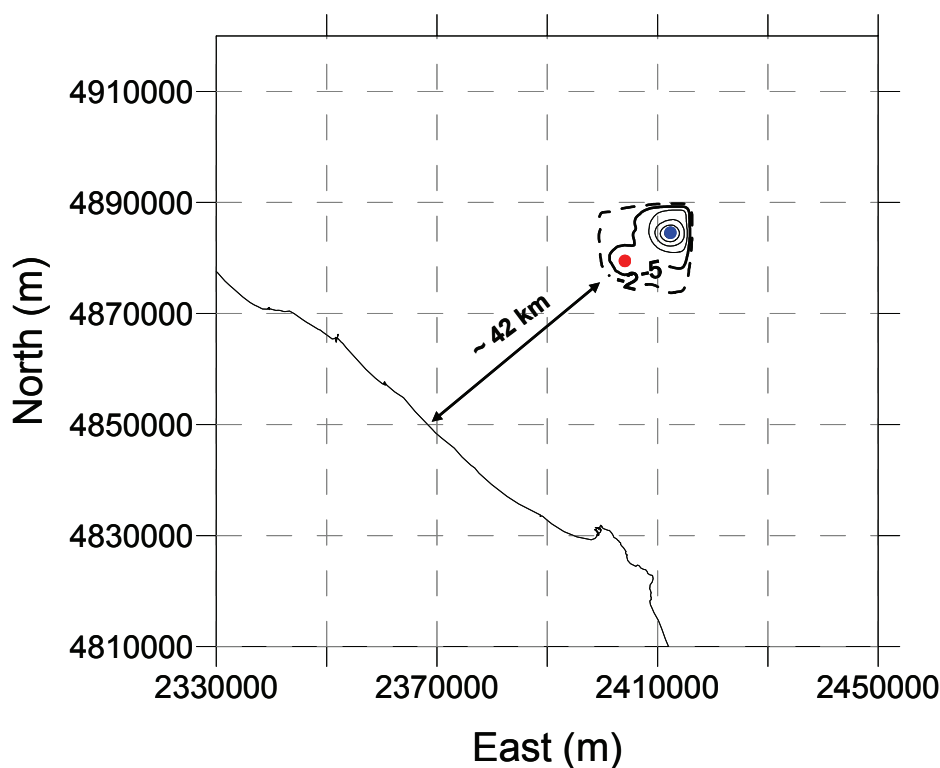


Figura 7 – Curve di iso-subsidenza per lo scenario di riferimento a fine simulazione (2050).

3.2 Scenario upper

I risultati delle previsioni di subsidenza per lo scenario upper sono riportati in Tabella 3 per diversi step temporali durante e dopo la vita produttiva del campo.

Tabella 3 – Risultati finali: massima subsidenza ed estensione del fenomeno per lo scenario upper.

| 1-gen-2010 | | 1-gen-2022 | | 1-gen-2026 | | 1-gen-2040 | | 1-gen-2050 | |
|--------------|---------------------|--------------|---------------------|--------------|---------------------|--------------|---------------------|--------------|---------------------|
| Max sub (cm) | Max estensione (km) |
| 36 | 5 | 39 | 13 | 39 | 14 | 38 | 14 | 37 | 14 |

L’analisi dei risultati consente di osservare che, per lo scenario upper:

- il valore massimo di subsidenza è previsto in corrispondenza del campo di Barbara NW e risulta pari a 39 cm. Tale valore è raggiunto nel 2022, si riduce a 38 cm dopo circa 20 anni e a 37 cm dopo ulteriori 10 anni (fine della simulazione). La subsidenza massima prevista in corrispondenza del campo di Fauzia è pari a 20 cm ed è raggiunta alla fine della simulazione (Figura 8);
- nel 2026 (fine della produzione) la massima estensione della linea di iso-subsidenza dei 2 cm, calcolata come distanza del punto di massima subsidenza dalla linea dei 2 cm, è pari a

14 km e rimane successivamente invariata (Figura 9 e Figura 10) a dimostrazione dell'assestamento del fenomeno;

- il fenomeno si esaurisce a circa 42 km dalla linea di costa.

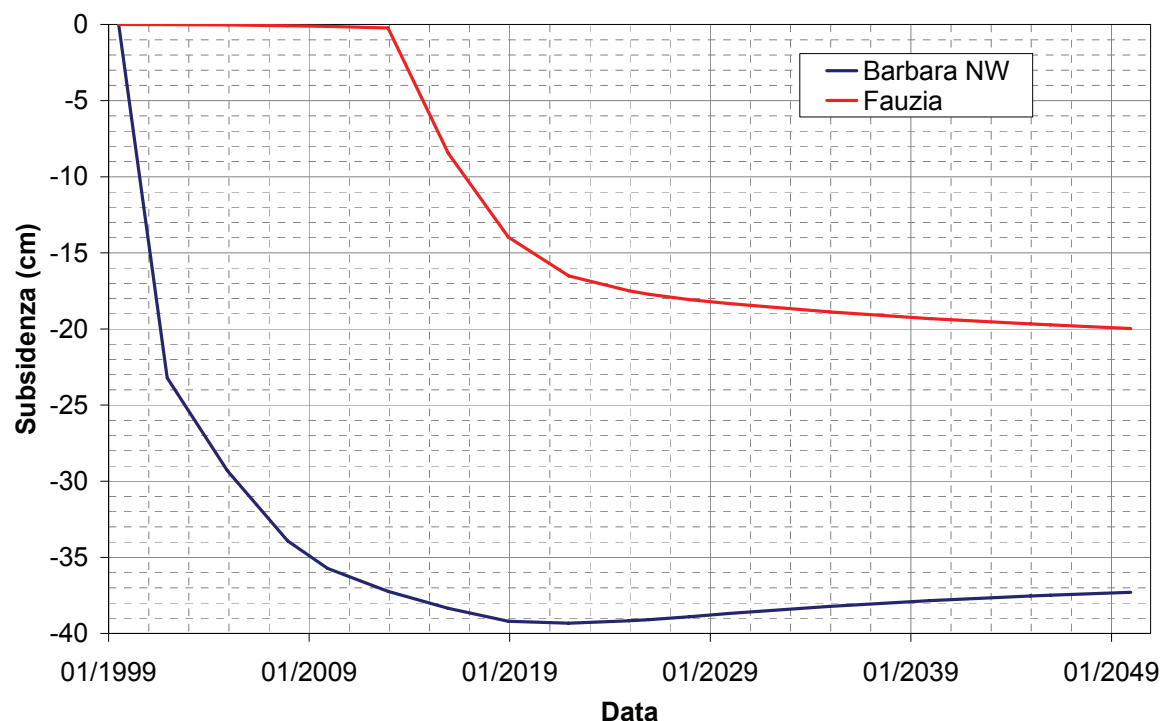


Figura 8 – Scenario upper: evoluzione nel tempo del valore di subsidenza nel punto di massimo, in corrispondenza del campo di Barbara NW (linea blu, punto di coordinate 2412321 m E, 4884565 m N) e del campo di Fauzia (linea rossa, punto di coordinate 2404061 m E, 4879477 m N).

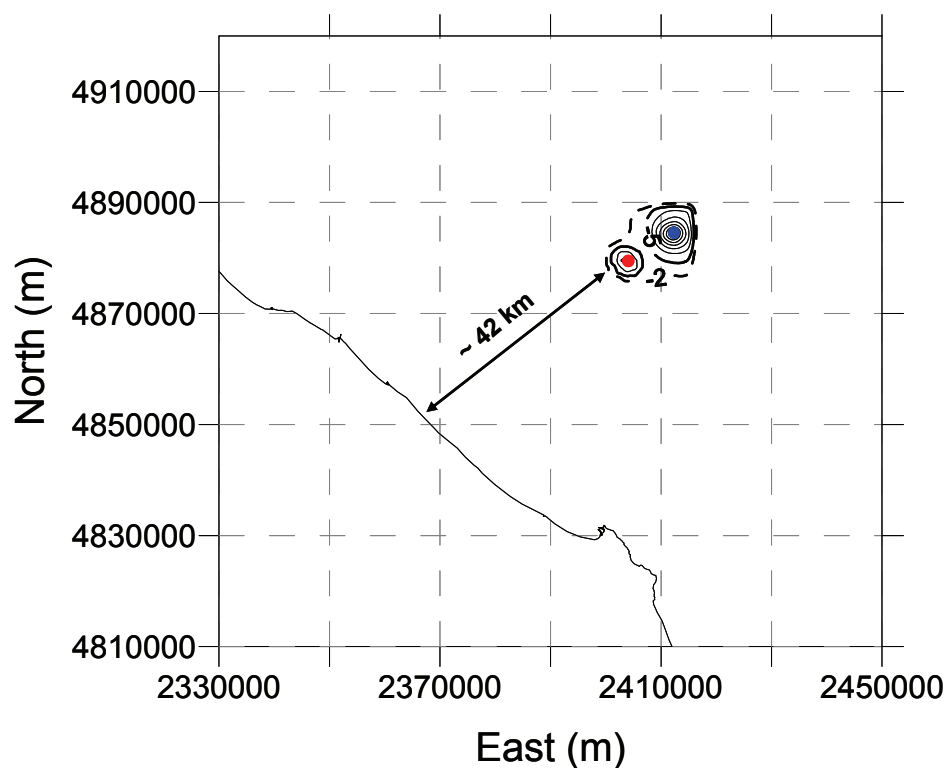


Figura 9 – Curve di iso-subsidenza per lo scenario upper a fine produzione (2026). Sono anche indicati i punti di massimo in corrispondenza del campo di Barbara NW (in blu) e di Fauzia (in rosso).

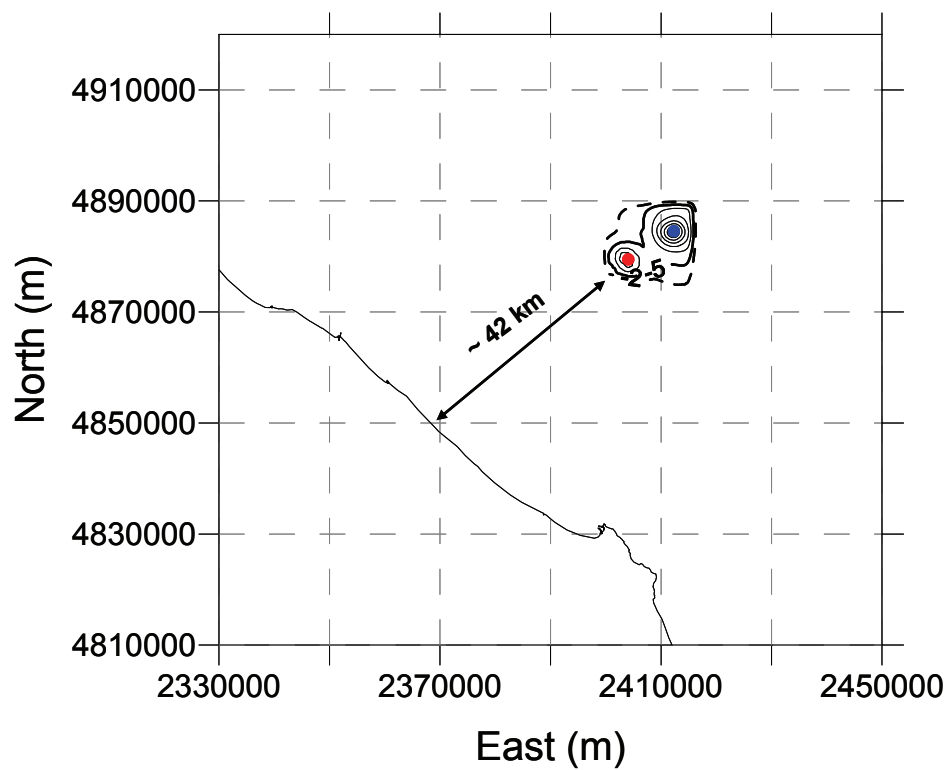


Figura 10 – Curve di iso-subsidenza per lo scenario upper a fine simulazione (2050).

4 Confronto con i dati della stazione CGPS

I valori di subsidenza calcolati dal modello numerico sono stati confrontati con quelli misurati dalla stazione CGPS installata sulla piattaforma di produzione di Barbara NW in corrispondenza delle coordinate 2411866 m E 4884875 m N. Il periodo di osservazione in cui sono stati analizzati i dati va da gennaio 2008 a dicembre 2009 (Figura 11). Si noti che tale periodo è stato selezionato considerando un insieme di dati leggermente inferiore alla totalità delle misure disponibili alla data odierna, allo scopo di utilizzare un intervallo temporale che non contenga frazioni di anno, così da minimizzare l'effetto degli errori dovuti alle oscillazioni stagionali legate alle variazioni di temperatura.

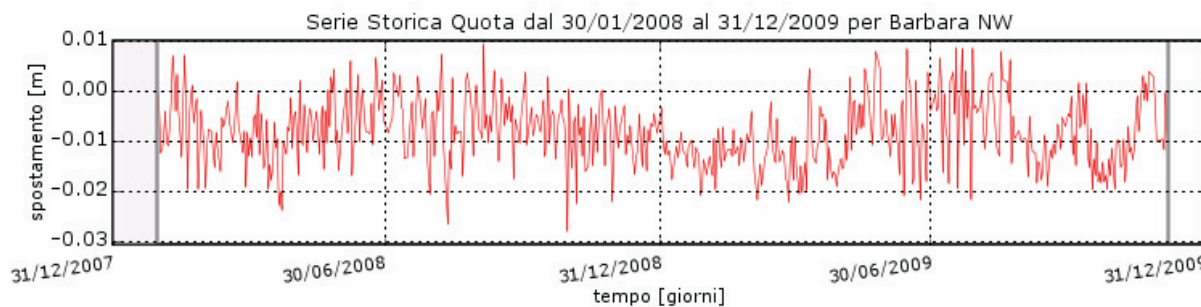


Figura 11 – Misurazioni effettuate dalla stazione CGPS, aggiornate al 26 maggio 2010.

Si sottolinea comunque che, come indicato dall'ente certificatore dei dati (Università degli Studi di Bologna, Dipartimento di Fisica), un dataset inferiore a 36 mesi non può essere considerato sufficientemente attendibile al fine di una verifica del modello previsionale di subsidenza.

In particolare, serie storiche di durata inferiore a 36 mesi possono dare indicazioni sulla tendenza del fenomeno solo nel caso di grandi valori di subsidenza, mentre un monitoraggio di durata superiore a 36 mesi è raccomandabile per trarre informazioni sulla tendenza nel caso di piccoli valori di subsidenza, quale è quello in esame in questo studio.

Nonostante le misure attualmente disponibili non possano essere utilizzate se non a livello indicativo, il confronto tra i valori predetti dalle simulazioni e i dati da CGPS (Figura 12) mostrano come entrambi gli scenari forniscano risultati cautelativi in termini di subsidenza prevista.

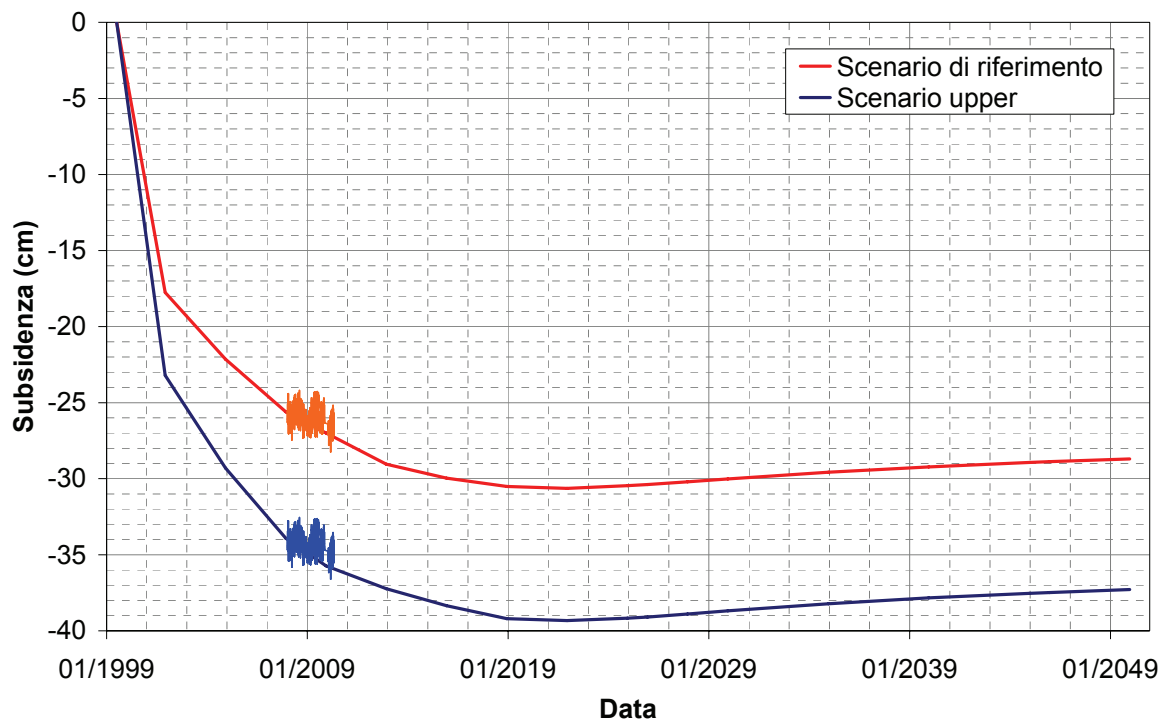


Figura 12 – Spostamento misurato e calcolato secondo i due scenari in corrispondenza della stazione CGPS.

Bibliografia

1. AbaqusTM, Dassault, versione 6.8.
2. EclipseTM, Schlumberger, versione 2007.2.
3. D. Baù, M. Ferronato, G. Gambolati and P. Teatini: *Basin-scale compressibility of the northern Adriatic by the radioactive marker technique*. Géotechnique 52, No. 8, 605–616, 2002.
4. T. Hueckel, G. Cassiani, J.H. Prévost and D.A. Walters: *Field Derived Compressibility of Deep Sediments of the Northern Adriatic. Land Subsidence*, Special Volume, Proc. 7th Int. Symp. on Land Subsidence, Shanghai, 2005.
5. D. Baù, M. Ferronato, G. Gambolati and P. Teatini: *Basin-scale compressibility of the northern Adriatic by the radioactive marker technique*. Géotechnique 52, No. 8, 605–616, 2002.
6. M. Ferronato, G. Gambolati, P. Teatini and D. Baù: *Interpretation of Radioactive Marker Measurements To Evaluate Compaction in the Northern Adriatic Gas Field*, SPE Evaluation & Engineering, December 2003.
7. F.J. Santarelli, M. Brignoli, A. Pellegrino: *La scelta del coefficiente di Poisson per formazioni a grande scala - 04/1996*.